



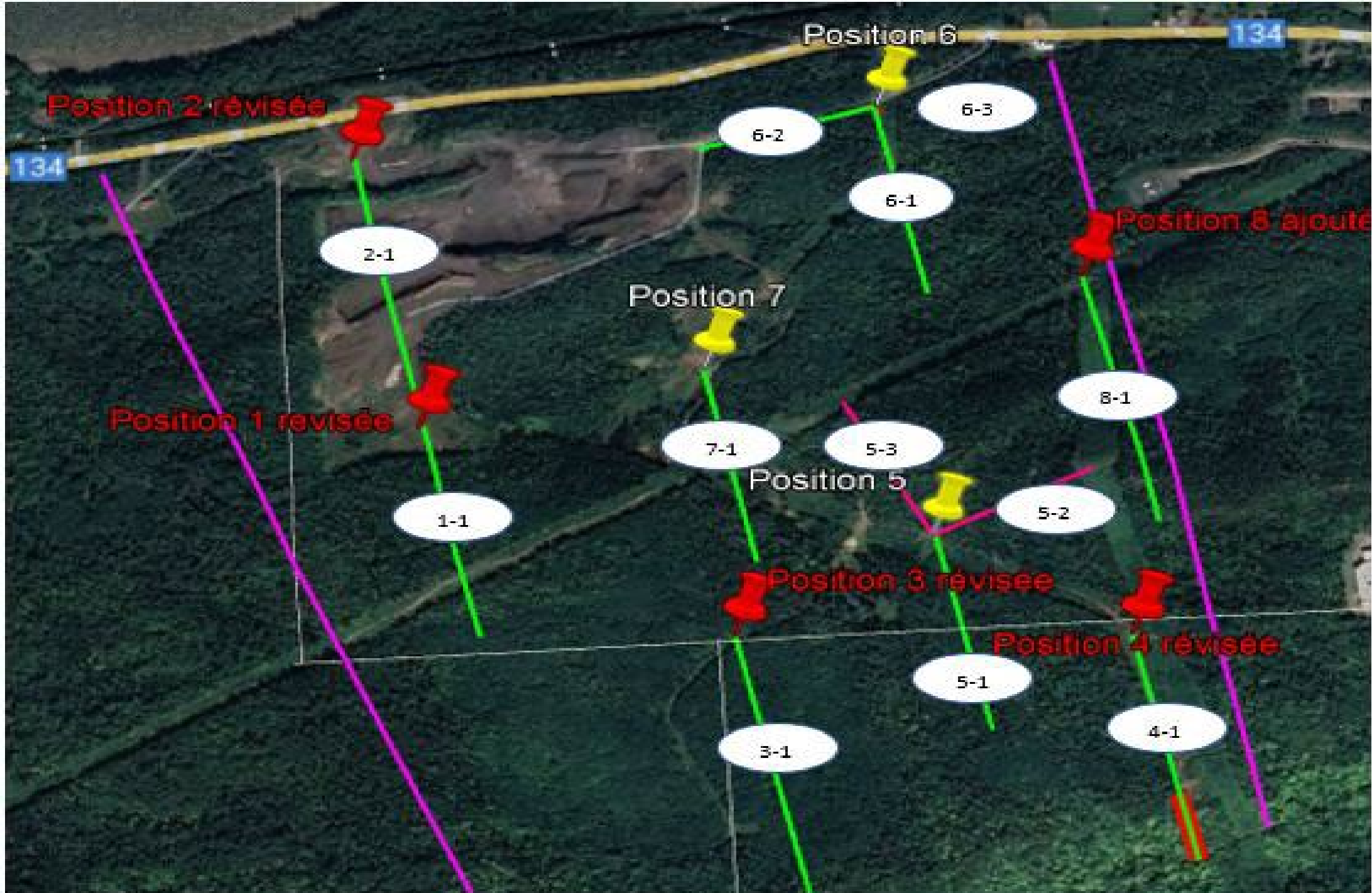
Résultats préliminaires

Preliminary results

M i s e à j o u r - U p d a t e

2 0 2 3 - 1 0 - 0 4 . v 2





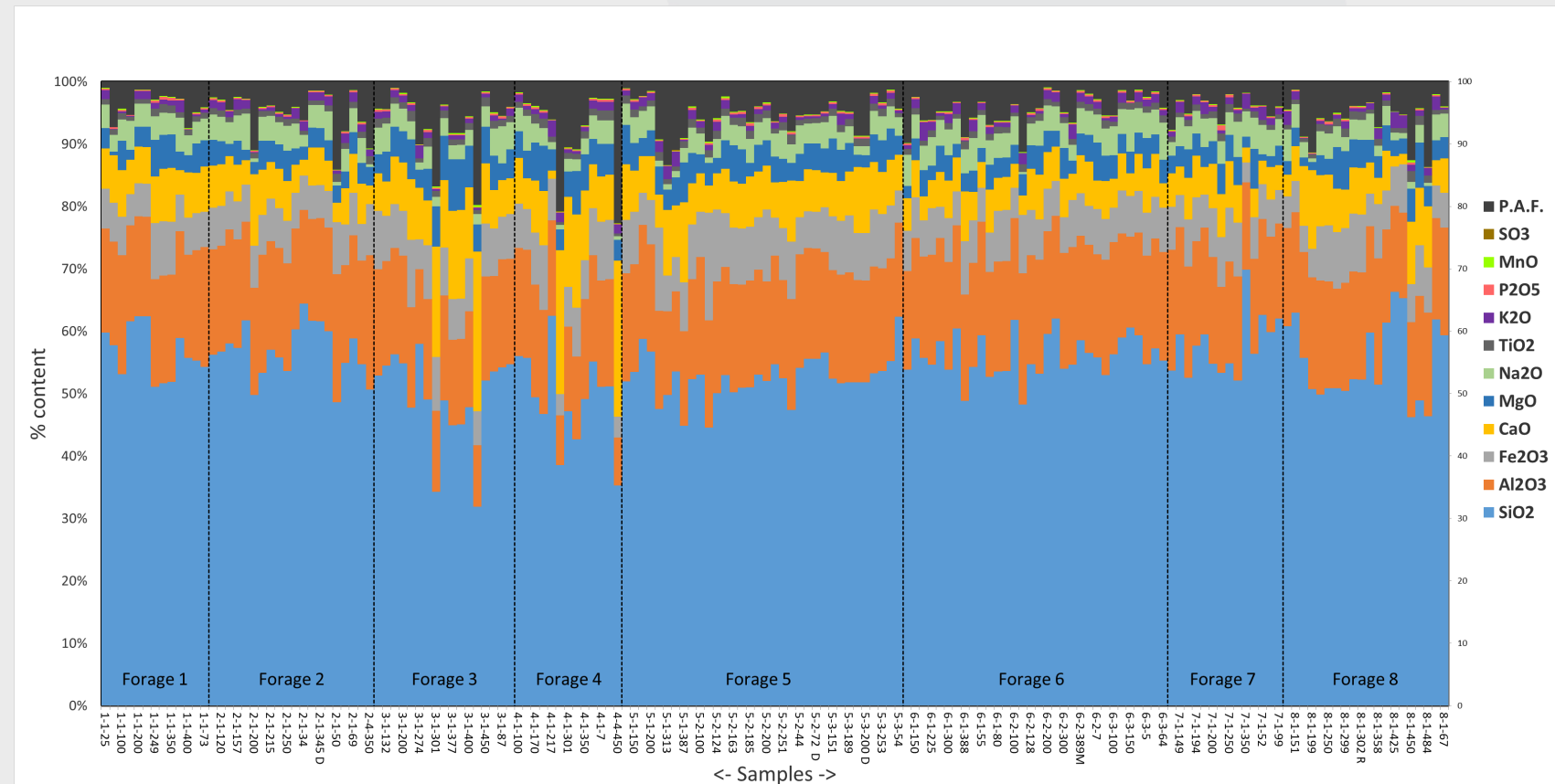
Composition chimique

Chemical composition

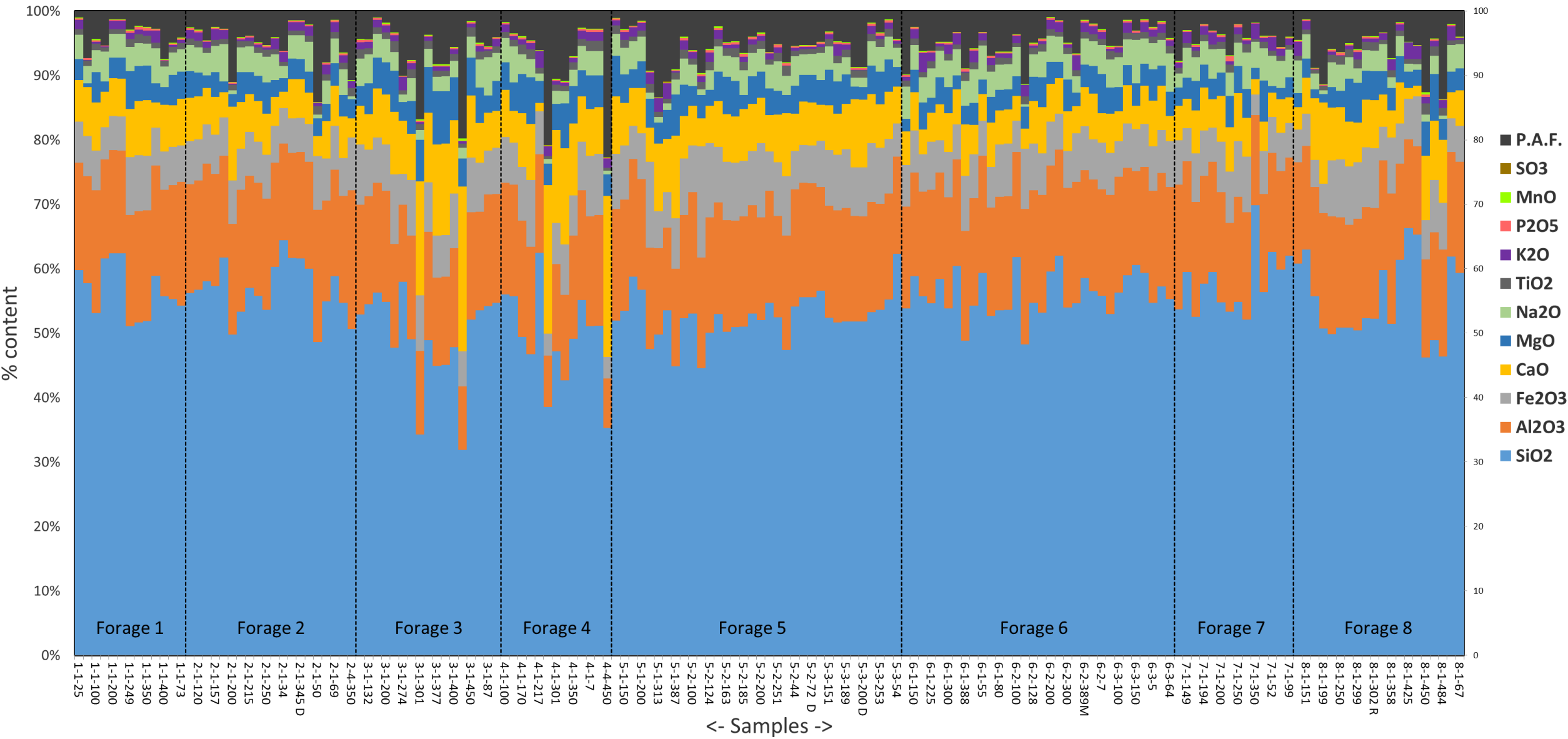
- Les compositions chimiques de nombreuses carottes obtenues des carottes de forages ont été analysées. Il existe une variation naturelle dans la composition.
The chemical compositions of many cores obtained from the drill cores were analyzed. There is a natural variation in composition.

Composé Component	% teneur / % content		
	Moyenne Mean	Médiane Median	Écart-type Std dev.
SiO ₂	54,6	54,6	5,7
Al ₂ O ₃	16,7	17,0	1,8
Fe ₂ O ₃	7,2	6,9	1,8
CaO	7,1	6,5	3,5
MgO	4,0	3,8	1,4
Na ₂ O	3,4	3,7	1,3
TiO ₂	1,0	1,0	0,3
K ₂ O	1,0	1,0	0,6
P ₂ O ₅	0,2	0,2	0,1
MnO	0,1	0,1	0,0
SO ₃	0,1	0,1	0,0
P.A.F.	5,3	4,5	3,7
Total	100,7	100,8	0,5

*P.A.F. = perte au feu



>>> Graphique en meilleure résolution à la diapositive suivante.
>>> *Plot in better resolution on the next slide*



Composition chimique Forage 1

Chemical composition Borehole 1

Échantillons	XRF OXYDES MAJEURS FUSION													
	SiO ₂ (%)	MgO (%)	CaO (%)	Fe ₂ O ₃ (%)	Al ₂ O ₃ (%)	MnO (%)	Na ₂ O (%)	K ₂ O (%)	TiO ₂ (%)	SO ₃ (%)	P ₂ O ₅ (%)	P.A.F. (%)	Total (%)	Majeurs*
1-1-25	60,5	3,3	6,5	6,5	16,8	0,1	3,8	1,5	0,9	< 0,01	0,2	1,0	101,2	83,9
1-1-1 rouge	58,3	0,6	7,7	6,3	16,7	0,1	2,7	0,1	0,9	< 0,01	0,2	7,4	100,9	81,3
1-1-100	53,5	4,8	7,5	6,2	19,2	0,2	3,4	0,3	1,0	< 0,01	0,3	4,4	100,8	78,9
1-1-151	62,2	1,7	5,6	5,0	15,6	0,1	4,7	0,1	0,7	< 0,01	0,2	5,4	101,1	82,8
1-1-200	62,5	3,2	5,9	5,4	16,0	0,1	3,7	1,3	0,7	< 0,01	0,2	1,3	100,2	83,9
1-1-200 R	61,9	3,2	5,9	5,3	15,8	0,1	3,7	1,3	0,7	< 0,01	0,2	1,3	99,3	83,0
1-1-249	51,4	5,9	7,6	9,0	17,3	0,2	3,8	0,9	1,3	< 0,01	0,4	2,9	100,6	77,8
1-1-301	51,9	5,4	8,4	8,8	17,4	0,2	3,6	0,8	1,4	< 0,01	0,4	2,3	100,6	78,1
1-1-350	52,2	5,4	8,6	8,6	17,3	0,2	3,4	0,8	1,3	< 0,01	0,4	2,5	100,7	78,1
1-1-37	59,6	3,0	3,9	6,0	17,3	0,1	5,5	1,9	0,9	< 0,01	0,2	2,8	101,1	82,8
1-1-400	55,7	2,8	7,2	6,0	16,5	0,1	3,2	0,1	0,9	< 0,01	0,1	7,5	100,0	78,2
1-1-50	56,1	4,8	6,5	6,0	18,0	0,1	3,5	0,4	0,9	< 0,01	0,2	5,0	101,4	80,1
1-1-73	54,8	4,2	7,4	5,7	19,4	0,1	3,6	0,5	1,0	< 0,01	0,2	4,2	101,0	79,9

*Majeurs : Somme du SiO₂, Fe₂O₃ et Al₂O₃

Composition chimique Forage 2

Chemical composition Borehole 2

Échantillons	XRF OXYDES MAJEURS FUSION													
	SiO ₂ (%)	MgO (%)	CaO (%)	Fe ₂ O ₃ (%)	Al ₂ O ₃ (%)	MnO (%)	Na ₂ O (%)	K ₂ O (%)	TiO ₂ (%)	SO ₃ (%)	P ₂ O ₅ (%)	P.A.F. (%)	Total (%)	Majeurs* (%)
2-1-100	56,7	4,2	6,8	6,7	17,0	0,1	4,1	1,3	1,1	< 0,01	0,3	2,5	100,8	80,4
2-1-120	57,5	3,7	6,8	6,5	17,1	0,1	4,0	1,3	1,0	< 0,01	0,3	2,9	101,3	81,1
2-1-146	58,1	2,0	5,7	6,1	18,2	0,1	3,5	0,9	0,8	< 0,01	0,1	4,5	100,0	82,4
2-1-157	57,4	3,9	5,9	6,1	17,3	0,1	4,0	1,7	0,9	< 0,01	0,2	2,4	100,0	80,8
2-1-185	62,3	1,7	3,9	6,0	16,0	0,1	5,9	1,4	0,8	< 0,01	0,2	2,7	101,0	84,3
2-1-200	50,1	2,0	11,5	6,7	17,3	0,1	0,6	0,1	0,9	< 0,01	0,2	11,1	100,6	74,1
2-1-206	53,9	4,6	7,3	6,5	19,1	0,1	3,9	0,3	1,0	< 0,01	0,3	4,1	101,0	79,4
2-1-215	57,6	3,4	5,9	6,9	17,6	0,1	4,0	0,6	0,8	< 0,01	0,2	3,9	101,0	82,0
2-1-225	55,8	3,9	6,3	6,4	17,5	0,1	3,5	0,5	0,9	< 0,01	0,2	4,9	100,0	79,7
2-1-250	53,6	4,9	6,4	6,8	17,2	0,1	3,9	0,3	1,1	< 0,01	0,3	5,3	100,0	77,7
2-1-301	60,3	2,6	4,5	5,7	16,2	0,1	4,0	1,7	0,8	< 0,01	0,1	4,0	100,0	82,2
2-1-34	64,5	2,1	2,6	5,5	15,0	0,0	1,8	1,5	0,7	< 0,01	0,1	6,2	100,0	84,9
2-1-345	61,9	3,2	6,1	5,4	16,5	0,1	3,7	1,3	0,7	< 0,01	0,2	1,5	100,5	83,8
2-1-345 D	61,9	3,1	6,1	5,4	16,6	0,1	3,7	1,3	0,7	< 0,01	0,2	1,5	100,4	83,8
2-1-4	60,4	3,3	4,9	5,9	16,7	0,1	4,7	1,4	1,0	< 0,01	0,2	2,1	100,6	82,9
2-1-50	48,6	2,8	3,1	8,3	20,5	0,1	0,6	0,5	1,3	< 0,01	0,1	14,1	100,0	77,4
2-1-65	55,4	2,7	5,9	6,6	15,8	0,1	3,7	1,5	1,0	< 0,01	0,3	8,0	100,9	77,8
2-1-69	59,1	3,6	6,2	6,9	16,6	0,1	3,8	1,5	1,1	< 0,01	0,3	1,3	100,4	82,5
2-1-76	55,2	3,4	6,5	5,9	16,7	0,1	4,0	1,2	1,0	< 0,01	0,3	6,5	100,9	77,9
2-4-350	51,2	3,0	3,0	8,3	21,8	0,1	0,5	1,1	1,3	< 0,01	0,0	10,9	101,1	81,3

*Majeurs : Somme du SiO₂, Fe₂O₃ et Al₂O₃

Composition chimique Forage 3

Chemical composition Borehole 3

XRF OXYDES MAJEURS FUSION														
Échantillons	SiO ₂ (%)	MgO (%)	CaO (%)	Fe ₂ O ₃ (%)	Al ₂ O ₃ (%)	MnO (%)	Na ₂ O (%)	K ₂ O (%)	TiO ₂ (%)	SO ₃ (%)	P ₂ O ₅ (%)	P.A.F. (%)	Total (%)	Majeurs* (%)
3-1-100	52,9	3,1	6,0	9,3	17,0	0,1	4,3	1,1	1,5	< 0,01	0,4	4,4	100,0	79,3
3-1-132	54,5	4,7	5,6	7,2	16,8	0,1	4,5	1,0	1,0	< 0,01	0,2	4,4	100,0	78,5
3-1-150	56,7	4,8	7,7	7,1	17,1	0,1	3,8	1,2	1,0	< 0,01	0,3	1,0	100,6	80,9
3-1-200	55,4	5,0	7,8	7,3	17,4	0,2	3,7	1,1	1,0	< 0,01	0,3	1,8	101,1	80,1
3-1-250	48,3	6,5	9,8	10,9	16,2	0,1	2,9	1,0	1,6	< 0,01	0,3	3,4	101,1	75,4
3-1-274	58,6	2,9	8,4	4,9	12,1	0,1	1,1	2,1	0,7	< 0,01	0,1	10,2	101,1	75,5
3-1-30	49,0	5,1	7,2	8,6	16,1	0,2	3,6	0,9	1,4	< 0,01	0,4	7,6	100,0	73,8
3-1-301	34,7	6,5	17,9	8,7	13,1	0,2	1,5	0,3	1,0	< 0,01	0,2	17,0	101,1	56,5
3-1-350	49,5	7,1	11,0	7,7	17,1	0,1	2,9	0,6	1,2	< 0,01	0,2	3,8	101,3	74,3
3-1-377	45,5	8,4	14,4	6,6	13,9	0,2	2,3	0,7	0,9	0,0	0,2	8,3	101,3	66,0
3-1-377 D	45,6	8,2	14,4	6,5	13,9	0,2	2,3	0,7	0,9	< 0,01	0,2	8,3	101,2	66,0
3-1-400	48,3	6,7	11,5	8,6	15,5	0,1	2,6	0,8	1,1	< 0,01	0,2	5,7	101,0	72,4
3-1-415	32,1	4,4	25,7	5,5	9,9	0,3	1,6	0,3	0,7	< 0,01	0,1	19,9	100,6	47,5
3-1-450	52,8	5,9	9,8	8,6	16,9	0,1	3,4	0,6	1,4	< 0,01	0,2	1,6	101,4	78,3
3-1-51	53,6	5,5	6,2	7,6	15,3	0,2	4,4	0,9	1,3	< 0,01	0,3	4,9	100,0	76,4
3-1-87	54,2	2,7	5,9	6,8	17,3	0,1	5,9	0,2	1,0	< 0,01	0,4	5,5	100,0	78,3
3-5-332	55,3	4,7	5,8	7,3	17,1	0,1	4,5	1,2	1,0	< 0,01	0,2	4,1	101,1	79,6

*Majeurs : Somme du SiO₂, Fe₂O₃ et Al₂O₃

Composition chimique Forage 4

Chemical composition Borehole 4

XRF OXYDES MAJEURS FUSION

Échantillons	SiO ₂ (%)	MgO (%)	CaO (%)	Fe ₂ O ₃ (%)	Al ₂ O ₃ (%)	MnO (%)	Na ₂ O (%)	K ₂ O (%)	TiO ₂ (%)	SO ₃ (%)	P ₂ O ₅ (%)	P.A.F. (%)	Total (%)	Majeurs* (%)
4-1-100	56,2	4,3	7,3	7,2	17,4	0,1	3,8	1,1	1,0	< 0,01	0,3	1,8	100,3	80,7
4-1-150	55,7	4,4	4,9	6,5	17,4	0,1	5,5	0,6	1,0	< 0,01	0,3	3,5	100,0	79,6
4-1-170	49,4	6,1	8,3	8,3	18,1	0,3	3,1	0,8	1,5	< 0,01	0,3	3,9	100,0	75,8
4-1-200	46,8	7,3	8,7	10,3	16,7	0,1	2,8	0,9	1,5	< 0,01	0,3	4,6	100,0	73,8
4-1-217	62,5	3,4	1,3	6,7	15,3	0,0	1,2	2,6	0,9	< 0,01	0,1	6,1	100,0	84,5
4-1-250	38,8	3,4	23,1	3,5	8,0	0,1	0,7	1,5	0,4	0,1	0,1	20,9	100,5	50,2
4-1-301	47,2	4,1	14,4	6,4	13,5	0,1	2,0	0,6	0,9	0,1	0,2	10,5	100,0	67,1
4-1-315	43,3	7,0	15,2	7,9	13,5	0,2	1,9	0,4	0,9	< 0,01	0,2	11,0	101,4	64,7
4-1-350	49,2	5,8	11,2	6,2	16,0	0,1	2,5	0,7	1,2	< 0,01	0,2	7,1	100,1	71,4
4-1-50	55,1	4,1	7,0	7,6	17,0	0,1	3,8	1,3	1,1	< 0,01	0,3	2,6	100,0	79,8
4-1-7	51,1	5,2	7,2	9,4	17,1	0,1	3,8	1,4	1,6	< 0,01	0,4	2,8	100,0	77,6
4-1-7 D	51,1	4,9	7,3	9,5	17,2	0,1	3,8	1,4	1,6	< 0,01	0,4	2,8	100,0	77,8
4-4-450	35,4	3,3	25,2	3,4	7,7	0,1	0,6	1,5	0,4	0,1	0,1	22,8	100,4	46,5

*Majeurs : Somme du SiO₂, Fe₂O₃ et Al₂O₃

Composition chimique Forage 5

Chemical composition Borehole 5

Échantillons	SiO ₂ (%)	MgO (%)	CaO (%)	Fe ₂ O ₃ (%)	Al ₂ O ₃ (%)	MnO (%)	Na ₂ O (%)	K ₂ O (%)	TiO ₂ (%)	SO ₃ (%)	P ₂ O ₅ (%)	P.A.F. (%)	Total (%)	Majeurs* (%)
5-1-100	52,7	6,4	9,0	8,7	17,6	0,1	3,4	0,8	1,3	< 0,01	0,3	1,1	101,4	78,9
5-1-150	54,0	4,5	6,6	8,5	17,5	0,2	4,2	1,3	1,2	< 0,01	0,3	2,8	101,0	79,9
5-1-172	59,4	2,9	5,9	5,2	18,5	0,1	4,4	1,5	0,7	< 0,01	0,1	2,3	101,0	83,0
5-1-200	57,5	4,2	7,1	7,2	17,4	0,1	3,9	1,2	1,0	< 0,01	0,3	1,5	101,2	82,0
5-1-250	48,2	4,6	5,3	13,5	16,0	0,1	1,0	1,7	1,4	< 0,01	0,2	9,4	101,4	77,7
5-1-313	50,2	3,3	10,6	5,8	13,5	0,1	0,9	2,1	0,8	< 0,01	0,1	13,5	100,8	69,5
5-1-352	54,2	4,6	8,4	5,6	12,9	0,1	1,0	2,4	0,7	0,2	0,1	11,1	101,2	72,7
5-1-387	45,4	6,4	13,0	7,9	15,4	0,1	2,4	0,2	1,1	< 0,01	0,2	9,1	101,2	68,6
5-1-50	52,9	4,9	6,7	8,9	16,2	0,2	4,1	1,5	1,4	< 0,01	0,4	4,0	101,0	77,9
5-2-100	53,5	3,1	6,2	7,3	19,0	0,1	3,3	1,0	1,0	< 0,01	0,2	6,1	100,9	79,8
5-2-117	45,1	3,7	4,4	17,5	17,4	0,2	0,8	0,9	1,2	< 0,01	0,2	9,8	101,2	79,9
5-2-124	50,5	2,4	5,9	11,6	18,1	0,2	3,1	1,5	1,2	< 0,01	0,4	5,9	100,8	80,1
5-2-150	53,8	4,6	7,2	8,8	17,5	0,2	4,0	1,4	1,2	< 0,01	0,3	2,5	101,6	80,1
5-2-163	50,7	5,8	7,5	9,2	17,5	0,2	3,3	0,5	1,2	< 0,01	0,3	4,9	101,1	77,4
5-2-174	51,5	5,6	7,3	9,1	16,7	0,1	3,7	0,6	1,4	< 0,01	0,4	4,7	101,1	77,3
5-2-185	51,3	2,2	8,1	8,7	17,1	0,1	3,9	0,8	1,3	< 0,01	0,5	6,6	100,5	77,1
5-2-199	53,4	4,3	7,4	8,5	17,0	0,1	3,7	0,7	1,3	< 0,01	0,4	4,0	100,8	78,9
5-2-200	52,6	4,1	7,1	11,6	16,1	0,2	3,6	0,8	1,3	< 0,01	0,4	3,4	101,0	80,3
5-2-25	55,2	4,2	5,7	6,2	17,5	0,1	3,7	0,9	0,8	< 0,01	0,2	6,4	100,8	78,8
5-2-251	52,6	3,7	7,4	8,4	15,7	0,1	4,6	0,9	1,3	< 0,01	0,4	5,1	100,1	76,6
5-2-281	47,6	2,8	9,9	9,2	17,9	0,1	3,0	0,1	1,5	< 0,01	0,4	8,0	100,5	74,7
5-2-44	54,6	4,3	5,9	6,0	18,3	0,1	4,7	0,5	0,8	< 0,01	0,2	5,5	100,7	78,8
5-2-72	56,1	4,2	6,8	5,9	17,9	0,1	3,2	0,3	0,8	< 0,01	0,2	5,4	100,9	79,9
5-2-72 D	56,3	4,3	6,8	5,9	17,9	0,1	3,3	0,3	0,8	< 0,01	0,2	5,4	101,3	80,2
5-3-103	57,5	4,0	5,7	7,2	16,4	0,1	4,2	0,5	1,0	< 0,01	0,2	4,8	101,6	81,1
5-3-151	53,1	5,6	7,0	8,8	17,6	0,2	3,7	0,7	1,2	< 0,01	0,3	3,2	101,3	79,4
5-3-153	52,1	5,1	6,5	8,6	17,6	0,1	2,8	1,8	1,2	< 0,01	0,4	4,7	100,9	78,3
5-3-189	52,5	4,6	7,1	9,3	17,9	0,1	2,8	0,8	1,1	< 0,01	0,3	4,9	101,3	79,6
5-3-200	52,4	2,0	10,7	7,6	16,5	0,1	1,4	0,1	1,2	< 0,01	0,3	8,8	101,0	76,5
5-3-200 D	52,4	1,9	10,6	7,7	16,5	0,1	1,5	0,1	1,1	< 0,01	0,3	8,8	101,1	76,5
5-3-215	54,0	4,5	7,7	9,3	17,4	0,2	3,8	1,2	1,2	< 0,01	0,3	1,8	101,4	80,7
5-3-253	54,3	5,2	6,8	8,8	16,7	0,2	3,9	0,5	1,2	< 0,01	0,4	3,3	101,3	79,8
5-3-299	55,5	5,0	7,4	8,5	16,5	0,1	3,6	1,0	1,2	< 0,01	0,4	1,3	100,5	80,6
5-3-54	63,0	3,1	5,8	5,2	15,2	0,1	3,0	0,5	0,7	< 0,01	0,2	4,4	101,0	83,4

*Majeurs : Somme du SiO₂, Fe₂O₃ et Al₂O₃

Composition chimique Forage 6

Chemical composition Borehole 6

Échantillons	XRF OXYDES MAJEURS FUSION													
	SiO ₂ (%)	MgO (%)	CaO (%)	Fe ₂ O ₃ (%)	Al ₂ O ₃ (%)	MnO (%)	Na ₂ O (%)	K ₂ O (%)	TiO ₂ (%)	SO ₃ (%)	P ₂ O ₅ (%)	P.A.F. (%)	Total (%)	Majeurs* (%)
6-1-100	54,6	2,0	5,3	6,5	16,0	0,1	5,1	0,6	0,9	< 0,01	0,3	10,0	101,4	77,1
6-1-150	59,5	3,5	6,0	6,6	16,3	0,1	4,0	1,4	1,0	< 0,01	0,3	2,5	101,2	82,4
6-1-200	56,1	4,2	3,9	5,8	16,3	0,2	4,0	3,0	0,8	< 0,01	0,2	6,2	100,7	78,2
6-1-225	54,7	2,4	4,5	7,4	17,6	0,1	4,5	1,4	1,1	< 0,01	0,2	6,1	100,0	79,7
6-1-250	58,4	4,3	5,5	5,0	16,6	0,1	4,1	0,4	0,7	< 0,01	0,2	4,8	100,1	80,0
6-1-300	54,1	4,1	6,1	7,0	17,4	0,2	4,1	1,5	1,0	< 0,01	0,3	4,8	100,5	78,5
6-1-340	60,8	2,2	5,5	5,4	16,6	0,1	4,1	1,7	0,7	< 0,01	0,2	3,3	100,6	82,9
6-1-388	49,0	2,9	8,0	8,5	17,1	0,1	3,9	0,1	1,3	< 0,01	0,5	8,9	100,2	74,6
6-1-50	54,7	3,5	4,6	6,9	16,8	0,1	5,3	1,8	1,1	< 0,01	0,3	5,9	100,8	78,4
6-1-55	60,0	2,2	4,2	5,5	18,4	0,1	5,4	1,1	0,8	< 0,01	0,1	3,3	101,2	84,0
6-1-6	53,2	4,1	7,0	6,3	17,0	0,1	3,9	1,1	1,0	< 0,01	0,3	7,0	100,9	76,5
6-1-80	53,5	3,2	5,3	8,1	17,6	0,1	4,0	0,7	1,0	< 0,01	0,1	6,3	100,0	79,3
6-1-80 D	53,6	3,1	5,3	8,2	17,7	0,1	3,9	0,7	1,0	< 0,01	0,1	6,3	100,0	79,4
6-2-100	61,8	3,1	3,8	4,8	16,3	0,1	4,5	1,2	0,6	< 0,01	0,1	3,6	100,0	83,0
6-2-107	48,3	3,4	3,1	9,3	21,0	0,1	0,4	1,8	1,3	< 0,01	0,0	11,3	100,0	78,6
6-2-128	54,7	3,8	6,6	7,3	17,4	0,1	3,4	0,4	1,0	< 0,01	0,3	4,9	100,0	79,5
6-2-150	53,2	4,6	7,2	6,5	18,3	0,1	4,0	0,4	1,1	< 0,01	0,3	4,2	100,0	77,9
6-2-200	59,9	3,4	6,0	6,8	16,6	0,1	4,1	1,5	1,0	< 0,01	0,3	0,9	100,6	83,3
6-2-250	62,5	2,6	5,6	5,6	16,6	0,1	3,9	1,5	0,8	< 0,01	0,2	1,4	100,7	84,6
6-2-300	54,0	4,9	6,1	5,7	18,6	0,1	4,0	0,5	0,9	< 0,01	0,2	4,9	100,0	78,3
6-2-316	54,6	2,1	4,2	7,6	18,9	0,1	2,5	2,3	1,0	< 0,01	0,2	6,6	100,0	81,1
6-2-389M	58,8	3,5	6,1	6,9	16,8	0,1	4,1	1,5	1,0	< 0,01	0,3	1,4	100,5	82,5
6-2-50	56,8	4,3	7,2	6,2	17,5	0,1	3,9	1,3	1,1	< 0,01	0,3	2,0	100,6	80,5
6-2-7	56,5	6,2	4,7	7,3	16,7	0,1	4,5	1,1	1,0	< 0,01	0,3	2,9	101,2	80,5
6-2-75	53,0	4,1	6,0	6,5	18,5	0,1	4,3	0,4	1,3	< 0,01	0,3	5,4	100,0	78,0
6-3-100	56,3	3,7	4,6	5,5	18,0	0,1	4,6	0,8	0,7	< 0,01	0,1	5,4	100,0	79,8
6-3-135	59,7	3,1	6,0	7,0	16,9	0,1	4,0	1,6	1,0	< 0,01	0,3	1,4	101,2	83,6
6-3-150	61,0	3,5	3,7	6,6	14,7	0,1	6,8	0,1	1,0	< 0,01	0,3	3,1	100,8	82,3
6-3-200	59,9	3,5	6,0	6,7	16,6	0,1	4,0	1,5	1,0	< 0,01	0,3	1,3	100,9	83,2
6-3-5	55,2	4,9	7,2	7,0	17,5	0,1	4,1	1,1	1,0	< 0,01	0,3	2,5	100,9	79,7
6-3-50	57,7	3,1	7,0	6,7	17,8	0,1	4,1	1,4	1,1	< 0,01	0,3	1,6	100,8	82,2
6-3-64	55,7	3,8	3,9	7,2	17,5	0,1	6,0	0,9	1,1	< 0,01	0,3	4,2	100,7	80,4

*Majeurs : Somme du SiO₂, Fe₂O₃ et Al₂O₃

Composition chimique Forage 7

Chemical composition Borehole 7

Échantillons	XRF OXYDES MAJEURS FUSION												Total (%)	Majeurs*
	SiO ₂ (%)	MgO (%)	CaO (%)	Fe ₂ O ₃ (%)	Al ₂ O ₃ (%)	MnO (%)	Na ₂ O (%)	K ₂ O (%)	TiO ₂ (%)	SO ₃ (%)	P ₂ O ₅ (%)	P.A.F. (%)		
7-1-109	54,2	2,8	5,4	7,0	19,6	0,1	2,2	0,9	0,9	< 0,01	0,1	7,8	101,0	80,7
7-1-149	60,1	3,3	4,6	5,2	17,3	0,1	4,7	1,8	0,7	< 0,01	0,2	3,0	101,0	82,6
7-1-179	53,2	4,6	6,8	7,6	18,0	0,2	3,7	0,6	1,0	< 0,01	0,3	5,2	101,1	78,8
7-1-194	58,4	3,6	6,7	7,2	16,9	0,1	3,7	1,4	1,0	< 0,01	0,3	2,0	101,3	82,5
7-1-199	59,8	3,2	4,4	5,3	17,2	0,1	4,6	1,9	0,7	< 0,01	0,2	3,1	100,6	82,4
7-1-200	55,4	3,7	7,1	8,0	17,3	0,1	3,7	0,8	1,1	< 0,01	0,3	3,7	101,1	80,6
7-1-245	53,6	4,8	6,9	8,0	13,9	0,2	3,7	0,5	1,2	< 0,01	0,8	6,9	100,5	75,5
7-1-250	55,5	4,3	7,6	8,7	16,5	0,1	3,6	1,2	1,3	< 0,01	0,4	2,0	101,2	80,7
7-1-301	52,8	4,5	6,2	8,7	16,9	0,2	5,7	0,6	1,3	< 0,01	0,3	4,2	101,3	78,4
7-1-350	70,5	1,8	2,4	3,2	14,1	0,0	4,1	2,4	0,4	< 0,01	0,1	1,8	101,0	87,9
7-1-389	57,0	6,4	4,7	6,8	15,4	0,1	5,1	0,6	1,0	< 0,01	0,3	3,9	101,1	79,1
7-1-52	62,9	1,1	3,8	5,6	15,4	0,1	4,7	2,1	0,8	< 0,01	0,2	3,8	100,4	83,9
7-1-72	60,5	1,8	5,3	6,0	15,5	0,1	4,3	1,1	0,8	< 0,01	0,2	5,6	101,0	81,9
7-1-99	62,7	3,2	4,0	5,4	15,3	0,1	4,3	1,0	0,7	< 0,01	0,2	4,0	101,0	83,4

*Majeurs : Somme du SiO₂, Fe₂O₃ et Al₂O₃

Composition chimique Forage 8

Chemical composition Borehole 8

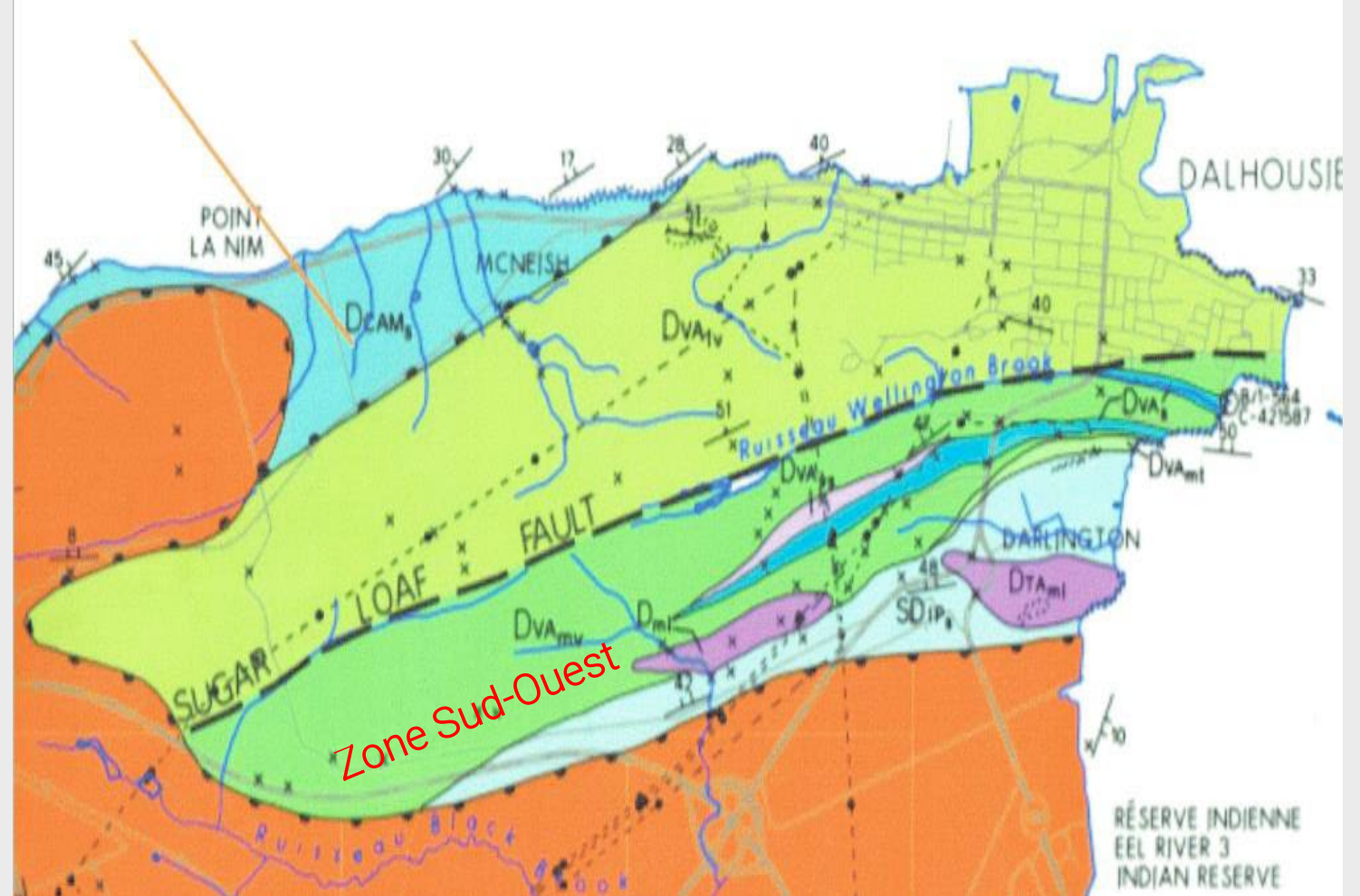
XRF OXYDES MAJEURS FUSION

Échantillons	SiO ₂ (%)	MgO (%)	CaO (%)	Fe ₂ O ₃ (%)	Al ₂ O ₃ (%)	MnO (%)	Na ₂ O (%)	K ₂ O (%)	TiO ₂ (%)	SO ₃ (%)	P ₂ O ₅ (%)	P.A.F. (%)	Total (%)	Majeurs* (%)
8-1-100	61,1	2,2	3,5	5,1	15,8	0,1	5,2	2,2	0,7	< 0,01	0,2	4,5	100,6	82,0
8-1-151	63,6	3,0	5,7	5,1	16,2	0,1	3,8	1,4	0,7	< 0,01	0,2	1,3	101,0	84,9
8-1-199	56,1	1,4	9,6	4,2	17,1	0,1	2,5	0,1	0,6	< 0,01	0,2	8,9	100,7	77,4
8-1-199	51,5	1,3	12,8	4,6	18,2	0,1	0,6	0,1	0,6	< 0,01	0,2	11,5	101,4	74,3
8-1-227	50,5	3,2	8,3	8,8	18,5	0,2	3,9	0,5	1,2	< 0,01	0,3	5,9	101,2	77,8
8-1-250	51,0	2,5	8,2	9,0	17,2	0,1	4,1	0,1	1,3	< 0,01	0,4	6,4	100,3	77,1
8-1-274	51,0	6,7	7,0	9,1	15,9	0,3	3,3	0,6	1,3	< 0,01	0,1	5,0	100,1	76,0
8-1-299	51,2	6,3	6,2	8,9	17,5	0,2	2,3	1,2	1,4	< 0,01	0,3	6,0	101,4	77,6
8-1-302	52,7	4,6	7,4	9,4	17,4	0,1	3,2	0,6	1,3	< 0,01	0,2	3,9	100,8	79,5
8-1-302 R	52,2	4,5	7,4	9,3	17,2	0,1	3,2	0,6	1,3	< 0,01	0,2	3,9	100,0	78,7
8-1-348	59,1	3,6	4,9	5,2	16,8	0,1	4,2	1,0	0,7	< 0,01	0,1	3,3	98,7	81,0
8-1-358	52,0	3,5	4,2	8,8	20,4	0,1	1,7	1,7	1,1	< 0,01	0,1	7,4	101,0	81,2
8-1-400	61,6	4,0	6,4	6,3	15,0	0,1	3,2	0,9	0,9	< 0,01	0,2	1,8	100,4	82,9
8-1-425	67,0	2,6	1,7	6,4	13,9	0,1	1,2	2,6	0,7	< 0,01	0,0	4,8	101,0	87,3
8-1-443	66,3	2,5	1,8	7,9	13,9	0,1	0,8	2,1	0,8	< 0,01	0,0	5,4	101,6	88,1
8-1-450	46,4	5,4	10,0	6,1	15,2	0,3	1,1	1,0	1,7	< 0,01	0,4	12,7	100,3	67,8
8-1-465	49,6	7,4	9,3	8,2	17,0	0,2	2,9	0,9	1,5	< 0,01	0,3	4,3	101,4	74,8
8-1-484	46,8	3,3	9,8	7,3	16,7	0,1	0,6	1,2	1,2	< 0,01	0,1	13,8	100,9	70,9
8-1-50	62,6	3,3	4,1	5,3	16,4	0,1	4,2	2,2	0,8	< 0,01	0,2	2,1	101,2	84,4
8-1-67	59,8	3,4	5,6	5,6	17,4	0,1	3,8	0,3	0,7	< 0,01	0,1	4,0	100,7	82,7

*Majeurs : Somme du SiO₂, Fe₂O₃ et Al₂O₃

Composition chimique

Chemical composition

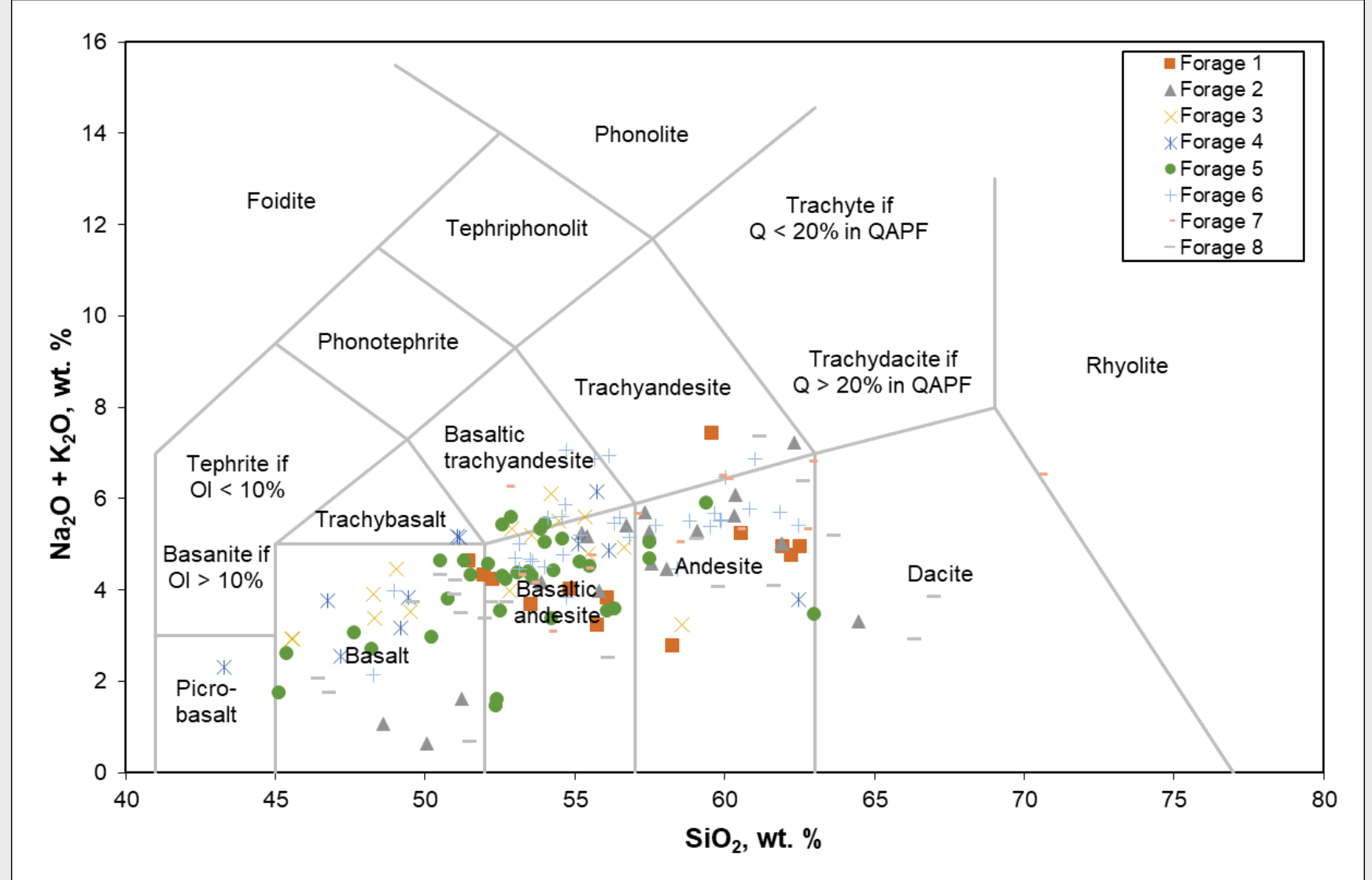


Échantillons	SiO ₂ (%)	MgO (%)	CaO (%)	Fe ₂ O ₃ (%)	Al ₂ O ₃ (%)	MnO (%)	Na ₂ O (%)	K ₂ O (%)	TiO ₂ (%)	SO ₃ (%)	P ₂ O ₅ (%)	P.A.F. (%)	Total (%)	Majeurs* (%)
Sud-Ouest 28-03-2023	56,7	3,6	7,6	8,7	17,3	0,2	3,8	0,5	1,3	< 0,01	0,2	1,7	101,5	82,7

*Majeurs : Somme du SiO₂, Fe₂O₃ et Al₂O₃

Composition chimique

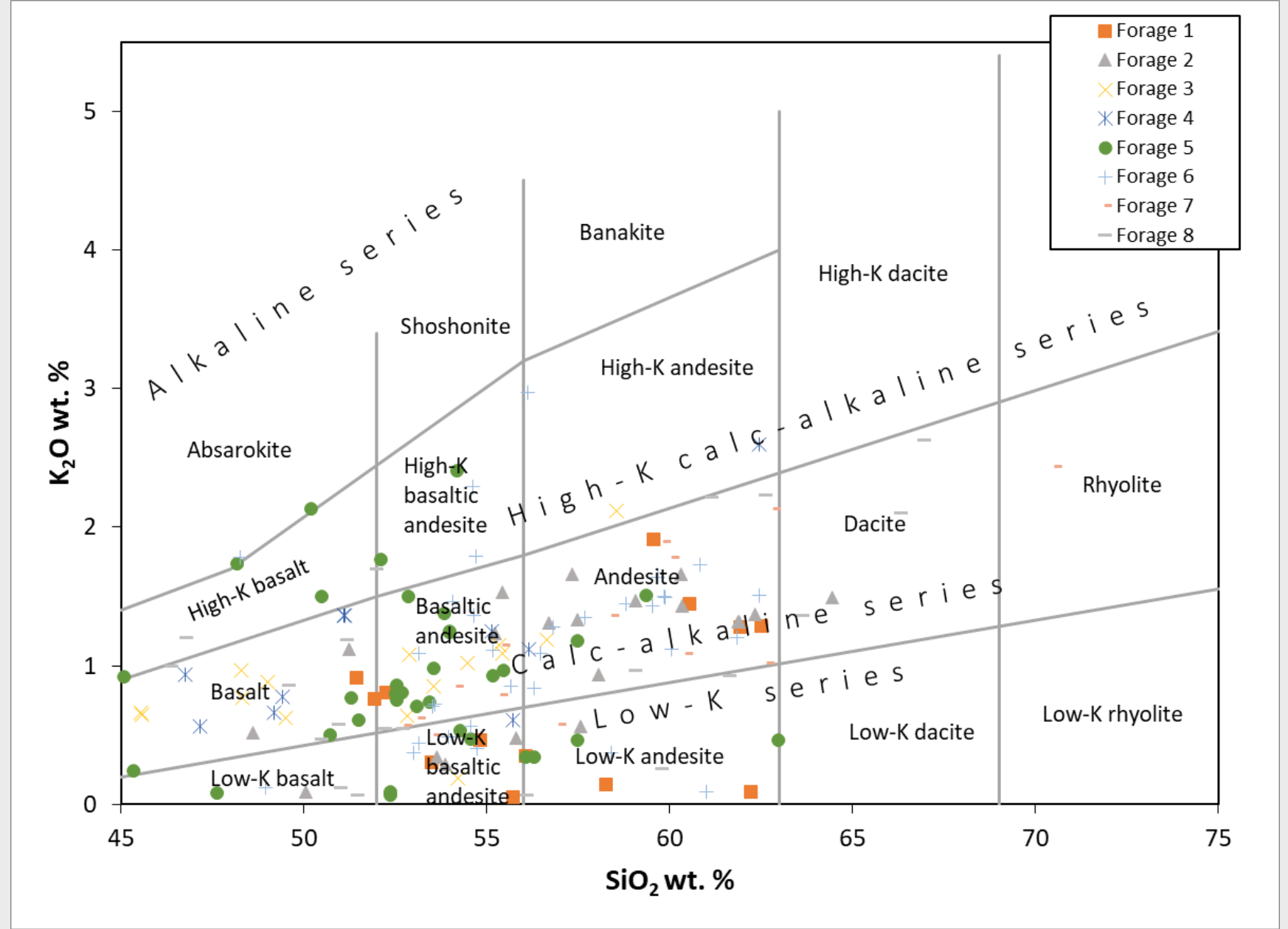
Chemical composition



BAS, M. J. L., MAITRE, R. W. L., STRECKEISEN, A., & ZANETTIN, B. (1986). A Chemical Classification of Volcanic Rocks Based on the Total Alkali-Silica Diagram. *Journal of Petrology*, 27(3), 745–750. doi:10.1093/petrology/27.3.745

Composition chimique

Chemical composition



Ewart, Anthony. "The mineralogy and petrology of Tertiary-Recent orogenic volcanic rocks: with special reference to the andesitic-basaltic compositional range." *Andesites: Orogenic Andesites and Related Rocks* 7 (1982): 25-98..

Analyse pour l'amiante

Asbestos content determination

- ❖ Quatre échantillons ont été envoyés à Laboratoire Silica Inc. pour évaluer leur contenu en amiante (identification et quantification par la méthode IRSST-244). Les analyses n'ont pas détecté la présence d'amiante dans ceux-ci.

Four samples were sent to Laboratoire Silica Inc. to be analyzed for asbestos content and identification by the method IRSST-244. No asbestos fibers were detected in the analyses.

2-1-50		
Matériau rouge		
Catégorie	Type	Concentration (en %)
Fibres d'amiante	S/O	Non détectées
Fibres organiques	Cellulose	Traces
Particules non-fibreuses	Anguleuses et autres	> 90 %



5-1-22 (Box66)		
Matériau gris		
Catégorie	Type	Concentration (en %)
Fibres d'amiante	S/O	Non détectées
Autres fibres	Synthétiques	Traces
Fibres organiques	Cellulose	Traces
Particules non-fibreuses	Anguleuses et autres	> 90 %



6-2-50		
Matériau gris et beige		
Catégorie	Type	Concentration (en %)
Fibres d'amiante	S/O	Non détectées
Fibres organiques	Cellulose	Traces
Particules non-fibreuses	Anguleuses et autres	> 90 %



Échantillon 13		
Matériau beige		
Catégorie	Type	Concentration (en %)
Fibres d'amiante	S/O	Non détectées
Fibres organiques	Cellulose	Traces
Particules non-fibreuses	Anguleuses et autres	> 90 %

*L'échantillon 13 est un échantillon composite de « granulats pile faciès bas » et « roches concassées sud-ouest » prélevés par CIMBEC.

Humidité

Humidity

- ❖ Les pourcentages d'humidité mesurés dans différents échantillons sont variables.

The moisture contents measured in different samples are variable.

Batch 1		Batch 4	
Échantillon	% d'humidité	Échantillon	% d'humidité
2-1-50	14,77%	1-1-1_rouge	1,30%
2-1-100	0,97%	1-1-37	1,90%
6-1-50	2,13%	1-1-73	4,40%
6-1-80	5,43%	2-1-185	0,40%
6-1-100	1,77%	2-1-206	3,80%
6-1-225	4,69%	2-1-215	1,00%
6-1-388	3,01%	5-2-117	8,00%
6-2-75	5,30%	5-3-153	4,50%
6-2-107	11,00%	5-3-189	4,00%
2-1-34	7,93%	5-3-215	1,30%
2-1-200	2,92%	6-1-55	2,30%
3-1-30	3,52%	7-1-72	0,60%
4-1-250	1,29%	7-1-109	7,10%
4-1-301	2,20%	7-1-179	3,30%
4-1-350	1,86%	7-1-194	1,30%
		7-1-245	1,30%
		8-1-67	3,20%
		8-1-199	1,30%
		8-1-227	1,30%
		8-1-274	3,20%
		8-1-299	5,90%
		8-1-358	6,40%
		8-1-425	3,80%
		8-1-443	4,40%
		8-1-465	2,20%
		8-1-484	6,60%